

## بررسی الگوی مکانی بنه با استفاده از زاویه بین درختان در جنگل‌های جوانرود کرمانشاه

امیر صفری<sup>۱\*</sup>، رضا حسین حیدری<sup>۲</sup>، نقی شبانبیان<sup>۳</sup> و مهسا کریمی<sup>۴</sup>

<sup>۱</sup>\* - نویسنده مسئول، دانشجوی دکتری جنگلداری، گروه جنگلداری، دانشگاه تربیت‌مدرس، نور، ایران. پست الکترونیک: asafari61@yahoo.com

- استادیار، پردیس کشاورزی و منابع طبیعی، دانشگاه رازی، کرمانشاه، ایران.

- استادیار، گروه جنگلداری، دانشکده منابع طبیعی، دانشگاه کردستان، سندج، ایران.

- دانشجوی دکتری جنگلداری، گروه جنگلداری، دانشگاه علوم کشاورزی و منابع طبیعی ساری، ساری، ایران.

تاریخ پذیرش: ۹۲/۱۲/۱۸ تاریخ دریافت: ۹۲/۱۱/۲۳

### چکیده

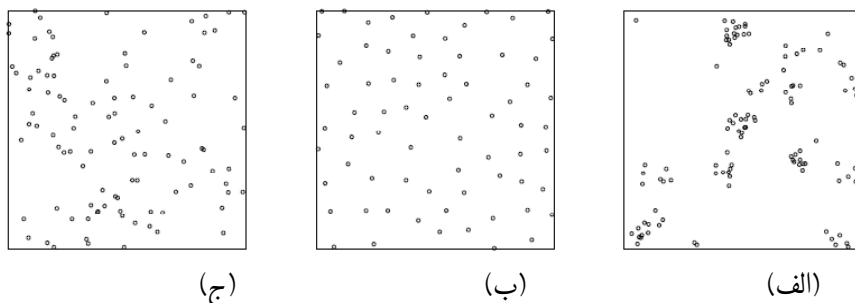
الگوی مکانی یکی از ویژگی‌های کلیدی اکوسیستم‌های جنگلی است که به همراه ترکیب و ساختار، عملکرد و خودتنظیمی جنگل را کنترل می‌کند. با توجه به اهمیت اقتصادی و زیست‌محیطی گونه بنه و نقش الگوی مکانی درختان در مدیریت جنگل، در این تحقیق الگوی مکانی بنه مورد بررسی قرار گرفت. در این پژوهش که در قسمتی از جنگل‌های جوانرود در استان کرمانشاه انجام شد، از اندازه‌گیری زاویه بین درختان برای تعیین الگوی مکانی استفاده شد. بدین‌منظور، عرصه‌ای به مساحت ۵۰ هکتار انتخاب و ۵۰ نقطه نمونه‌برداری در طرح نمونه‌برداری تصادفی- منظم در قالب شبکه آماربرداری  $100 \times 100$  متر برداشت و در هر نقطه زاویه‌های موردنیاز برای محاسبه شاخص‌های  $MoA$  (Mean of Angle) و  $W_i$  (Winkelmass) برداشت شد. نتایج نشان داد که الگوی بنه در این تحقیق به شکل کپه‌ای متمایل به تصادفی است و شاخص  $MoA$  نیز از دقت لازم برای تعیین الگوی مکانی گونه بنه برخوردار نیست.

واژه‌های کلیدی: الگوی مکانی، بنه، شاخص  $W_i$ ، شاخص  $MoA$ ، جوانرود.

### مقدمه

اقدام به منظور حفظ و احیاء این گونه را ضروری می‌نماید. الگوی مکانی عبارتست از موقعیت افقی یا پراکنش افرادی درختان در یک توده که محل استقرار درختان را در یک صفحه افقی منعکس می‌کند (Hui *et al.*, 2007). به طور کلی سه نوع الگوی مکانی مختلف وجود دارد که عبارتند از الگوی تجمعی یا کپه‌ای، الگوی منظم یا یکنواخت و الگوی تصادفی (شکل ۱).

بنه مهم‌ترین گونه اقتصادی نواحی روستایی جنگل‌های زاگرس است که دارای صمغ بالارزشی به نام سقز بوده که مصارف مختلف دارویی و غذایی دارد (Pourreza *et al.*, 2008). رویشگاه‌های بنه مانند اغلب قسمت‌های دیگر جنگل‌های زاگرس به دلیل بهره‌برداری بی‌رویه مورد تخریب قرار گرفته‌اند، اما ارزش‌های متعدد این گونه و نقش‌های مختلفی که در معیشت ساکنین مناطق بنه‌خیز دارد، هر گونه



شکل ۱- انواع الگوی مکانی، کپهای (الف)، یکنواخت (ب) و تصادفی (ج) (برگرفته از Baddeley, 2010)

بیولوژیکی جمعیت‌های گیاهی با شرایط محیطی مفید باشد. بهمین دلیل در دهه گذشته به آنالیز الگوهای مکانی به عنوان موضوع مرکزی در تحقیقات جنگل، به ویژه در احیاء جنگل‌ها توجه شده است (Zhang *et al.*, 2012) و به عنوان یک بخش مهم در تحقیقات اکولوژیک جنگل توسعه یافته است (Zhao *et al.*, 2014).

با توجه به اهمیت الگوی مکانی درختان جنگلی، پژوهش‌های متعددی با استفاده از روش‌های مختلف در داخل و خارج کشور انجام شده است. در مورد بنه تاکنون Safari و همکاران (۲۰۱۰b) الگوی مکانی این گونه را با استفاده از شاخص‌های مختلف قطعه‌نمونه و فاصله‌ای به‌شکل کپهای معرفی کردند. Erfanifard و Mahdian (۲۰۱۲) الگوی مکانی بنه را با استفاده از آماربرداری صدرصد در جنگل تحقیقاتی بنه استان فارس به شکل کپهای تعیین کردند. Karimi و همکاران (۲۰۱۲) الگوی مکانی بنه را با استفاده ازتابع *O-ring* به‌شکل تصادفی تعیین کردند. از دیگر مطالعات در زمینه الگوی مکانی در داخل و خارج کشور می‌توان به پژوهش‌های Basiri و همکاران (۲۰۰۶)، Habashi و همکاران (۲۰۰۷)، Heidari و همکاران (۲۰۰۷)، Akhavan و همکاران (۲۰۱۰)، Kiani و همکاران (۲۰۱۱)، Dagley (۲۰۰۸) و Zhang (۲۰۱۲) اشاره کرد.

با توجه به نقش الگوی مکانی به عنوان یک ابزار مدیریتی مهم در حفظ، شناخت و مدیریت توده‌های جنگلی این تحقیق سعی دارد با معرفی الگوی مکانی بنه گامی به منظور احیاء این گونه بردارد، زیرا الگوی مکانی می‌تواند

شکل‌گیری هر کدام از انواع مختلف الگو نتیجه عمل چندگانه روابط بین گونه‌ای و درون گونه‌ای، ویژگی‌های بیولوژیکی جمعیت و شرایط محیطی است (Dagley, 2008; Gray & He, 2009). بنابراین الگوی مکانی از دو جنبه اهمیت دارد: اول اینکه شکل الگو نتیجه فرایندها و کنش‌های اکولوژیکی و بیولوژیکی است و ترکیب الگوی مکانی با دیگر اطلاعات می‌تواند در درک عوامل ایجادکننده الگو مهم باشد. دوم اینکه الگوی مکانی گونه‌ها برای درک الگوهای توزع‌زیستی لازم است (Zhang *et al.*, 2012). الگوی مکانی فقط یک ویژگی مکانی جمعیت نیست، بلکه یکی از شاخص‌های کمی اساسی جمعیت‌های است، مهم‌ترین شاخص برای تشریح ساختار توده جنگلی است، زیرا ممکن است دو توده مقادیر متوسط، تجمعی و توزیع فراوانی مشابه داشته باشند، اما به دلیل اختلاف در الگوهای مکانی خیلی متفاوت بنظر برسند (Dagley, 2008). شناخت الگوی مکانی درختان به عنوان یک ابزار کلیدی در درک عمیق ساختار جمعیت، رویش و برداشت درختان در جنگلکاری‌ها کمک می‌کند و در اظهار نظر درباره قوانین پراکنش درختان، فرایندهای تکاملی و پیش‌بینی تغییرات توده نیز بسیار مهم است (Hu *et al.*, 2007). در ضمن الگوهای مکانی در دخالت‌های جنگل‌شناسی مانند استقرار زادآوری، تنک کردن و روش‌های بهره‌برداری مورد استفاده قرار می‌گیرد و به عنوان یک هدف در پژوهه‌های احیایی دنبال می‌شود (Dagley, 2008). علاوه بر این، اطلاعات مهمی از تاریخچه توده، پویایی و رقابت آشکار می‌سازد (Haase, 1995) و می‌تواند در تعیین روابط اکولوژیکی، ویژگی‌های

از شاخص‌های فاصله‌ای است و دسته دوم استفاده از فواصل بین تمامی درختان و تابع  $K$  ریپلی است که نیازمند آماربرداری صدرصد است (Stoyan & Stoyan, 1992). شاخص‌های فاصله‌ای هر کدام پیش‌فرض‌هایی دارند و Safari (Jannat Rostami *et al.*, 2009; *et al.*, 2010 (a,b) Erfanifard *et al.*, 2008; 2008; نیازمند آماربرداری صدرصد بوده که مستلزم صرف زمان و هزینه‌های زیاد است. در این میان روش دیگری وجود دارد که در ده سال اخیر توسعه یافته است. این روش که براساس اندازه‌گیری زاویه بین درختان استوار است، محدودیت‌های سایر روش‌های ذکر شده را ندارد. در اجرای این روش از دو شاخص  $W_i$  و  $MoA$  به شرح زیر استفاده می‌شود:

شاخص  $W_i$ : این شاخص که تحت عنوان شاخص زاویه یکنواخت (Li *et al.*, 2012; Hui *et al.*, 2007) یا شاخص Flores *et al.*, 2012; Corona *et al.*, ) Winkelmaas Contagion (Zhao *et al.*, 2014; 2005 Pommerning, 2002) خوانده می‌شود، یک روش ساده و سریع در بررسی الگوی مکانی توده‌های جنگلی است و رویکرد آن براساس اندازه‌گیری زاویه بین درختان همسایه است (Corona *et al.*, 2005). براین اساس که هر درخت مرکزی  $i$  با یک جفت درخت همسایه، دو زاویه  $\alpha$  و  $\beta$  ایجاد می‌کند و برای این دو زاویه داریم  $\alpha + \beta = 360^\circ$  (همواره  $\alpha < \beta$ ). شاخص  $W_i$  به عنوان درصدی از زاویه‌های اندازه‌گیری شده است که از زاویه استاندارد ( $\alpha_0$ ) کوچک‌تر باشد (Pommerning, 2002). در صورت یکنواختی کامل مکان  $n$  درخت در اطراف درخت مرکزی  $i$ ، زاویه استاندارد مورد انتظار ( $\alpha_0$ ) بین همسایگان مطابق رابطه ۱ محاسبه می‌شود.

$$\alpha_0 = \frac{360^\circ}{n+1} \quad \text{رابطه ۱}$$

که در آن  $n$  تعداد درختان همسایه مورد بررسی در اطراف درخت مرکزی است (Hui *et al.*, 2007). با توجه به اثبات دقت بالای این شاخص (Hui *et al.*, 2007) تحقیقات متعددی با استفاده از این شاخص انجام

در درک توده، اعمال دخالت‌های جنگل‌شناسی و اقدامات حفاظتی و احیایی بسیار مفید باشد.

## مواد و روش‌ها

### منطقه موردنبررسی

منطقه موردنبررسی در قسمتی از جنگل‌های شهرستان جوانرود در استان کرمانشاه واقع شده است. این منطقه در حوضه آبخیز رودخانه لیله و در دامنه‌های جنوبی قرار دارد. این حوضه آبخیز در عرض "۳۰°۵۰'۱۶" تا "۳۱°۴۰'۳۴" شمالی و طول "۴۲°۶'۴۶" تا "۴۶°۱۹'۳۶" شرقی قرار دارد. از دیگر گونه‌های جنگلی موجود در منطقه می‌توان به بلوط ایرانی و زالزالک اشاره کرد. طبق نقشه‌های مطالعاتی موجود در پایگاه اینترنتی اداره کل منابع طبیعی استان کرمانشاه، اقلیم عرصه موردمطالعه مرتبط و در طبقه ارتفاعی ۱۰۰۰ تا ۱۵۰۰ متری و دامنه جنوبی قرار دارد.

### روش پژوهش

به طور کلی الگوی مکانی درختان توسط سه روش کلی بررسی می‌شود که عبارتند از: پراکنش تعداد درختان در داخل قطعات نمونه با مساحت ثابت (Basiri *et al.*, 2006)، اندازه‌گیری فواصل درخت تا درختان همسایه (Heidari *et al.*, 2007; Jannat Rostami Akhavan *et al.*, Safari *et al.*, 2010a,b; *et al.*, 2009 (Erfanifard & Mahdian, 2012; 2010; Schmidt *et al.*, 2005) و اندازه‌گیری زاویه‌های بین درختان (Stephens *et al.*, 2008; Hui *et al.*, 2007; *et al.*, 2006; Fucai *et al.*, 2010; Trifkovic & Yamamoto, 2008; Li *et al.*, 2012; Flores *et al.*, 2012;

روش قطعه‌نمونه یک روش ساده تحلیل الگوی مکانی است که مبتنی بر تعیین سطح و مکان قطعات نمونه و شمارش تعداد درختان در این نمونه‌هاست، اما به دلیل دقت کم آن، در پژوهش‌های الگوی مکانی چندان استفاده نمی‌شود (Wang *et al.*, 2005). روش‌های مبتنی بر اندازه‌گیری فواصل بین درخت به دو دسته کلی تقسیم می‌شود که دسته اول شامل نمونه‌برداری فاصله‌ای و استفاده

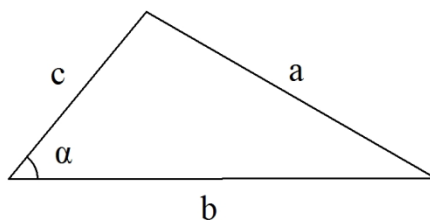
### جمع آوری داده‌ها

به منظور محاسبه  $W_i$  و MoA در محدوده‌ای به مساحت ۵۰ هکتار در قالب شبکه آماربرداری  $100 \times 100$  متر تعداد ۵۰ نقطه نمونه‌برداری پیاده شد و در هر نقطه زاویه‌های موردنیاز هر شاخص اندازه‌گیری شد.

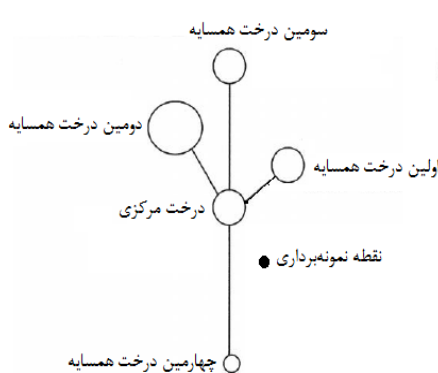
#### اندازه‌گیری زاویه‌ها

با توجه به استفاده از دستگاه متر لیزری Disto D5 (با دقت یک میلی‌متر) در این تحقیق برای اندازه‌گیری زاویه‌های موردنیاز از روش کسینوس‌ها استفاده شد (شکل ۲). بدین ترتیب که برای به دست آوردن هر زاویه فاصله بین هر سه ضلع اندازه‌گیری و با استفاده از رابطه ۲ مقدار زاویه موردنظر محاسبه شد.

شده است که می‌توان به Schmidt و همکاران (۲۰۰۶) در جنگل‌های مخلوط سوزنی برگ Sierra Nevada و Hui و همکاران (۲۰۰۷) در جنگل‌های چین، Stephens و همکاران (۲۰۰۸) در جنگل‌های کالیفرنیا، Fucai و همکاران (۲۰۱۰) در جنگل‌های کره جنوبی، Li و همکاران (۲۰۱۲) در جنگل‌های چین، Flores و همکاران (۲۰۱۲) در جنگل‌های آمریکا Zhao و Sierra Madre Oriental و همکاران (۲۰۱۴) در داده‌های شبیه‌سازی شده اشاره کرد. شاخص MoA: این شاخص برای تحلیل الگوی مکانی فقط از یک زاویه در هر نقطه نمونه‌برداری استفاده می‌کند. در این روش از زاویه ایجاد شده بین نقطه نمونه‌برداری و دو درخت نزدیک به این نقطه استفاده می‌شود (Trifkovic & Yamamoto, 2008).



شکل ۲- اندازه‌گیری سه ضلع به منظور اندازه بعد زاویه موردنظر ( $\alpha$ )



شکل ۳- نحوه شناسایی درختان در هر نقطه نمونه‌برداری

برای محاسبه شاخص MoA پس از قرار گرفتن در نقطه نمونه‌برداری، دو درخت که نزدیک‌ترین فاصله را با این نقطه داشتند، شناسایی شدند. در مرحله بعد زاویه ایجاد شده (زاویه  $\alpha$ ) بین دو درخت و نقطه نمونه‌برداری اندازه‌گیری شد

برای محاسبه شاخص  $W_i$  در هر نقطه نمونه‌برداری ابتدا نزدیک‌ترین درخت به این نقطه مشخص و به عنوان درخت مرکزی (i) معرفی شد. سپس چهار درخت همسایه که نزدیک‌ترین فاصله را با درخت مرکزی (i) داشتند، شناسایی شدند (شکل ۳). طبق مطالعات گذشته مشخص شده است که بررسی چهار درخت برای توصیف ساختار مکانی توده کافی است (Corona et al., 2005). در نهایت زاویه ایجاد شده بین هر جفت درخت همسایه نزدیک به درخت مرکزی توسط شکل ۲ و رابطه ۲ اندازه‌گیری شد.

$$\cos(\alpha) = \frac{a^2 - b^2 - c^2}{-2bc} \quad \text{رابطه ۲}$$

موردنبرسی قرار گیرد، پنج مقدار برای  $W_i$  ممکن خواهد بود که عبارتند از: صفر،  $۰/۲۵$ ،  $۰/۵$ ،  $۰/۷۵$  و یک.

$W_i = ۰$ : اگر هیچ‌کدام از زاویه‌های اندازه‌گیری شده از زاویه استاندارد کوچک‌تر نباشد.  
 $W_i = \frac{۰+۰+۰+۰}{۴} = ۰$

$W_i = ۰/۲۵$ : اگر یکی از زاویه‌های اندازه‌گیری شده از زاویه استاندارد کوچک‌تر باشد.  
 $W_i = \frac{۱+۰+۰+۰}{۴} = ۰/۲۵$

$W_i = ۰/۵$ : اگر دو زاویه از زاویه‌های اندازه‌گیری شده از زاویه استاندارد کوچک‌تر باشد.  
 $W_i = \frac{۱+۱+۰+۰}{۴} = ۰/۵$

$W_i = ۰/۷۵$ : اگر سه زاویه از زاویه‌های اندازه‌گیری شده از زاویه استاندارد کوچک‌تر باشد.  
 $W_i = \frac{۱+۱+۱+۰}{۴} = ۰/۷۵$

$W_i = ۱$ : اگر هر چهار زاویه از زاویه‌های اندازه‌گیری شده از زاویه استاندارد کوچک‌تر باشد.  
 $W_i = \frac{۱+۱+۱+۱}{۴} = ۱$

از میانگین مقادیر  $W_i$  در تمام نقاط نمونه‌برداری می‌توان برای تعیین الگو استفاده کرد (رابطه ۳).

اگر میانگین  $W_i$ ‌ها برابر صفر باشد، الگو یکنواخت، اگر برابر با  $۰/۵$  باشد، الگو تصادفی و اگر برابر با یک باشد، الگو به شکل کپهای خواهد بود. برای تحلیل بهتر الگو با استفاده از مقادیر  $W_i$  بهتر است که از حدود اعتماد میانگین  $W_i$ ‌ها یعنی  $\bar{W}$  استفاده شود (رابطه ۴).

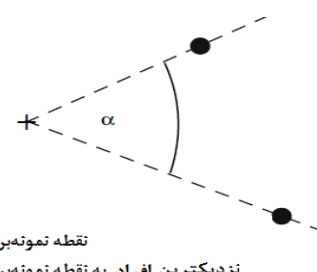
$$\bar{W} = \frac{1}{n} \sum_{i=1}^n W_i = \frac{1}{4n} \sum_{i=1}^n \sum_{j=1}^4 z_{ij}$$

رابطه ۴

که در آن  $n$ : تعداد نقاط نمونه‌برداری،  $z_{ij}$ : هر درخت مرکزی،  $z_{ij}$ : هر کدام از چهار درخت همسایه درخت مرکزی است.

در این صورت برای الگوی تصادفی مقدار متوسط شاخص  $W_i$  در فاصله  $(۰/۵۱۷$  و  $۰/۴۷۵$ )، در حالت الگوی  $\bar{W}$  کپهای  $۰/۵۱۷$  و برای آرایش منظم  $۰/۴۷۵ < \bar{W} <$  خواهد بود (Fucai et al., 2010; Stephens et al., 2008).

(شکل‌های ۲ و ۴ و رابطه ۲).



شکل ۴- زاویه اندازه‌گیری شده بین دو درخت نژدیکترین همسایه به نقطه نمونه‌برداری در هر نقطه نمونه‌برداری برای محاسبه شاخص (Trifkovic & Yamamoto, 2008 MoA) (برگرفته از Trifkovic & Yamamoto, 2008 MoA)

### محاسبات

شاخص  $W_i$ : مزیت شاخص  $W_i$  در نحوه تحلیل الگوی مکانی این است که از دو رویکرد محاسبه‌ای و محاسبه‌ای-ترسیمی استفاده می‌کند.

روش محاسبه‌ای: در این حالت ابتدا زاویه استاندارد موردنانتظار ( $\alpha_0$ ) طبق رابطه ۲ محاسبه می‌شود. با توجه به اینکه در این تحقیق از چهار درخت همسایه به درخت مرکزی استفاده شد، مقدار زاویه استاندارد موردنانتظار ( $\alpha_0$ ) برابر با  $۷۲$  درجه است.

پس از محاسبه زاویه استاندارد موردنانتظار ( $\alpha_0$ )، با استفاده از رابطه ۳ مقادیر مختلف  $W_i$  محاسبه می‌شود.

$$W_i = \frac{1}{n} \sum_i^n z_{ij}$$

رابطه ۳

که در آن:

$z_{ij} = ۱$  است اگر  $\alpha_j < \alpha_0$  امین ( $\alpha_j =$  زاویه‌های اندازه‌گیری شده در هر نقطه نمونه‌برداری)  $z_{ij} = ۰$  است اگر  $\alpha_j > \alpha_0$  امین

$n$ : تعداد درختان همسایه درخت مرکزی (Hui et al., 2007) (2007)

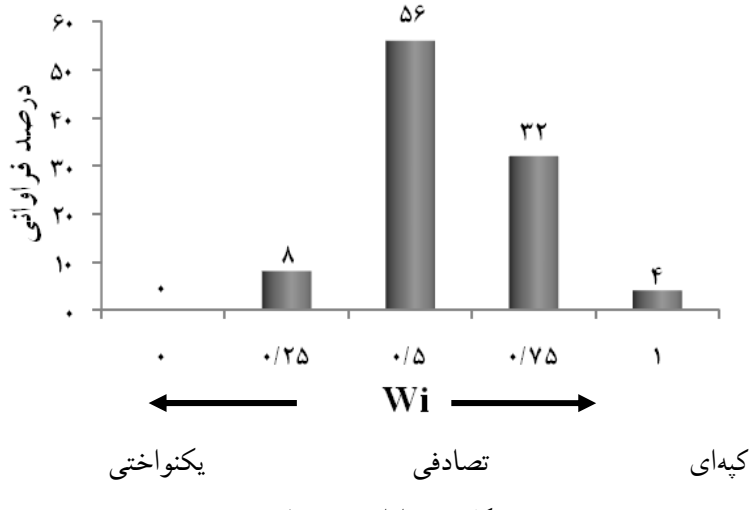
در صورتی که چهار درخت همسایه درخت مرکزی

انتظار می‌رود در الگوی تصادفی متوسط زاویه‌های اندازه‌گیری شده برابر ۹۰ درجه باشد (Trifkovic & Yamamoto, 2008).

## نتایج روش محاسبه‌ای

مقدار شاخص  $W_i$  برابر با عدد  $58/0$  محاسبه شد. با توجه به اینکه این مقدار از  $5/0$  بزرگ‌تر و از یک کوچک‌تر است، پس بیانگر الگوی مکانی کپه‌ای متمایل به تصادفی برای بنه است. براساس حدود اعتماد میانگین  $W_i$ ، چون مقدار  $58/0$  بزرگ‌تر از  $517/0$  و نزدیک به این حد است، بنابراین با استفاده از حدود اعتماد میانگین هم، الگوی کپه‌ای متمایل به تصادفی برای گونه موردمطالعه معرفی می‌شود.

**روش محاسبه‌ای - ترسیمی:**  
نمودار فراوانی  $W_i$  براساس مقادیر محاسبه شده در شکل ۵ ارائه شده است.



شکل ۵- فراوانی  $W_i$  محاسبه شده

است، پس بیانگر الگوی مکانی یکنواخت برای بنه است.

## بحث

استقرار مکانی گیاهان وابسته به دامنه گسترهای از فرایندهای زنده، نوع زادآوری، محدودیت‌های پراکنش و رقابت می‌تواند باشد. در مقابل فرآیندهای غیرزنده مثل

روش محاسبه‌ای - ترسیمی: در این روش براساس فراوانی مقادیر  $W_i$  نموداری به تصویر کشیده می‌شود. درصورتی که فراوانی پراکنش  $W_i$  در دو طرف نمودار مشابه باشد، الگو تصادفی است. درصورتی که فراوانی در سمت چپ نمودار بیشتر از سمت راست باشد، الگو پراکنده و بالعکس الگو به شکل کپه‌ای خواهد بود (Hui et al., 2007).

**شاخص MoA:** در این شاخص میانگین زاویه‌های اندازه‌گیری در نقاط نمونه‌برداری استفاده می‌شود (رابطه ۵).

$$MoA = \frac{1}{n} \sum_{i=1}^n \alpha_i \quad \text{رابطه ۵}$$

در این رابطه:

$MoA$ : متوسط زاویه‌های اندازه‌گیری شده،  $n$ : تعداد نقاط نمونه‌برداری و  $\alpha_i$ : زاویه‌های اندازه‌گیری شده در هر نقطه نمونه‌برداری است.

در حالت الگوی کپه‌ای مقدار  $MoA$  از  $90$  درجه کمتر و در حالت الگوی یکنواخت از  $90$  درجه بزرگ‌تر می‌شود.

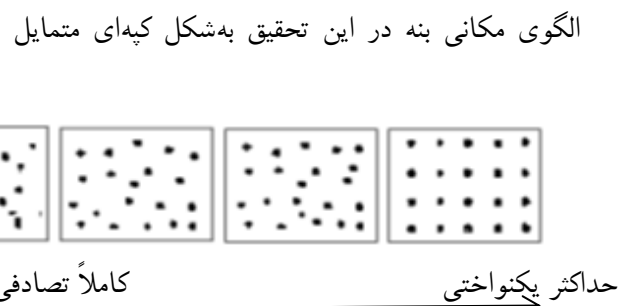
همان‌طور که از شکل ۵ مشاهده می‌شود مقدار فراوانی در مرکز و سمت راست نمودار بیشتر از سمت چپ است. این نمودار هم الگوی کپه‌ای متمایل به تصادفی برای بنه را نشان می‌دهد.

**شاخص MoA:** مقدار این شاخص برابر با  $118/7$  درجه محاسبه شد. با توجه به اینکه این مقدار از  $90$  درجه بیشتر

به تصادفی به دست آمد. آرایش کپهای یک الگوی عمومی برای پراکنش گونه‌های گیاهی است (Li *et al.*, 2009). مطالعات مختلف در داخل کشور بیانگر الگوی مکانی کپهای Karimi *et al.* (2012; Kiani *et al.*, 2011; Akhavan *et al.* 2010; Safari *et al.*, 2010a,b; Habashi *et al.*, 2007; Alavi *et al.*, 2006; Basiri *et al.*, 2006 Haji Mirza Aghayee *et al.*, 2010; Marin *et al.*, 2011; Li *et al.*, 2009). نوع پراکنش بذرها مهم‌ترین عامل تأثیرگذار بر الگوهای مکانی درختان است (Hui و همکاران (۲۰۰۷) براساس نتایج مطالعه‌ای که با استفاده از داده‌های حاصل از آماربرداری در جنگلهای طبیعی و داده‌های شبیه‌سازی شده انجام دادند اظهار کردند که شاخص  $W_i$  از دقت بسیار زیادی برای کشف الگوهای مکانی برخوردار است. Zhao و همکاران (۲۰۱۴) در مطالعه مقایسه‌ای خود اظهار کردند که شاخص  $W_i$  توانایی بیشتری در معرفی الگوی مکانی دقیق گونه‌ها دارد. در این تحقیق شاخص  $W_i$  بیانگر الگوی کپهای متمایل به تصادفی برای گونه بهن است. در حالی که شاخص MoA الگوی مکانی بهن را به صورت یکنواخت معرفی می‌کند. با استفاده از نتایج این تحقیق و با توجه به دقت مناسب شاخص  $W_i$  می‌توان نتیجه گرفت که استفاده از شاخص MoA نمی‌تواند بیانگر الگوی مکانی به درستی باشد. Trifkovic و Yamamoto (۲۰۰۸) نیز در تحقیق خود به نتیجه مشابه و عدم کارایی مناسب شاخص MoA دست یافتند.

الگوی مکانی بهن در این تحقیق به‌شکل کپهای متمایل

ناهمگنی رویشگاه، آشوب‌ها یا دیگر وقایع اتفاقی رخ داده می‌تواند در غیرتصادفی بودن پراکنش درختان شرکت کند (Li *et al.*, 2009). در این تحقیق برای بررسی الگوی مکانی گونه بهن از دو شاخص  $W_i$  و MoA استفاده شد. با توجه به بررسی و اندازه‌گیری چهار زاویه در هر نقطه نمونه‌برداری در محاسبه شاخص  $W_i$  در مقایسه با شاخص MoA که فقط از یک زاویه در هر نقطه نمونه‌برداری استفاده می‌کند، انتظار می‌رود شاخص  $W_i$  نتایج دقیق‌تری را از الگوی مکانی آشکار سازد. Hui و همکاران (۲۰۰۷) براساس نتایج مطالعه‌ای که با استفاده از داده‌های حاصل از آماربرداری در جنگلهای طبیعی و داده‌های شبیه‌سازی شده انجام دادند اظهار کردند که شاخص  $W_i$  از دقت بسیار زیادی برای کشف الگوهای مکانی برخوردار است. Zhao و همکاران (۲۰۱۴) در مطالعه مقایسه‌ای خود اظهار کردند که شاخص  $W_i$  توانایی بیشتری در معرفی الگوی مکانی دقیق گونه‌ها دارد. در این تحقیق شاخص  $W_i$  بیانگر الگوی کپهای متمایل به تصادفی برای گونه بهن است. در حالی که شاخص MoA الگوی مکانی بهن را به صورت یکنواخت معرفی می‌کند. با استفاده از نتایج این تحقیق و با توجه به دقت مناسب شاخص  $W_i$  می‌توان نتیجه گرفت که استفاده از شاخص MoA نمی‌تواند بیانگر الگوی مکانی به درستی باشد. Trifkovic و Yamamoto (۲۰۰۸) نیز در تحقیق خود به نتیجه مشابه و عدم کارایی مناسب شاخص MoA دست یافتند.



شکل ۶- طیف الگوی مکانی (برگرفته از Safari *et al.*, 2010b)

عرضه موردبررسی مانند چرای دام، بهره‌برداری غیراصولی

وجود فشارهای متعدد بر اغلب رویشگاه‌های زاگرس و

Forest and Poplar Research, 18(2): 322-336 (In Persian).

- Alavi, S., Zahedi Amiri, Gh. and Marvi Mohajer, M.R. 2006. An investigation of spatial pattern in Wych Elm (*Ulmus glabra*) in Hyrcanian forests (Case study: Kheyroudkenar forest, Nowshahr, Iran). Iranian Journal of Natural Resources, 58(4): 793-804 (In Persian).
- Baddeley, A. 2010. Analysing spatial point patterns in R. CSIRO and University of Western Australia. Workshop Notes, Version 4.1, 232p.
- Basiri, R., Sohrabi, H. and Mozayan, M. 2006. A statistical analysis of the spatial pattern of trees species in Ghamisheleh Marivan region, Iran. Iranian Journal of Natural Resources, 59(2): 579-588 (In Persian).
- Corona, P., Orazio, D.P., Lamonaca, A. and Portoghesi, L. 2005. L'indice Winkelmass per l'inventariazione a fini assestamentali della diversità strutturale di soprassuoli forestali. Forest, 2(2): 225-232.
- Dagley, C.M. 2008. Spatial pattern of coast redwood in three alluvial flat old-growth forests in Northern California. Forest Science, 54(3): 294-302.
- Erfanifard, Y. and Mahdian, F. 2012. Comparative investigation on the methods of true spatial pattern analysis of trees in forests (Case study: Wild pistachio Research Forest, Fars Province, Iran). Iranian Journal of Forest and Poplar Research, 20(1): 62-73 (In Persian).
- Erfanifard, Y., Feghhi, J., Zobeiri, M. and Namiranian, M. 2008. Comparison of two distance methods for forest spatial pattern analysis (Case study: Zagros forests of Iran). Journal of Applied Science, 8(1): 152-157.
- Flores, D.Y.A., Tagle, M.A.G., Perez, J.J., Calderon, O.A.A., Garza, E.J.T. and Lareta, B.V. 2012. Stand structure of *Pinus hartwegii* affected by fire using neighborhood parameters in the Sierra Mader Oriental, Mexico. Tropical and Subtropical Agroecosystem, 15: 377-387.
- Fucai, X., Xiuhai, Zh., Chunfang, P., Yuzhen, J. and Jinsong, W. 2010. Stand structure of broad-leaved and Korean pine (*Pinus koraiensis*) mixed forest in the Changbai Mountains, China. Chinese Journal of Applied Environmental Biology, 16(4): 529-534.

از محصولات فرعی و جمع‌آوری میوه درختان بنه توسط ساکنین منطقه سبب حذف درختان و مماعت از استقرار زادآوری می‌شود که در نتیجه آن شکل کپه‌ها به هم خورده و سبب ایجاد درختان تصادفی می‌شود. در ضمن، الگوی تصادفی ممکن است در نتیجه حذف درختان هم‌جوار در اثر رقابت و مرگ‌ومیر و در مسیر تغییر الگو از حالت کپه‌ای به منظم ایجاد شود (Reyburn, 2011). Alavi و همکاران (۲۰۰۶) نیز الگوی کپه‌ای متمایل به تصادفی برای گونه ملچ را نتیجه قاچاق چوب و بیماری مرگ‌نارون که سبب حذف درختان شده بود، معرفی کردند. Mantgem و همکاران (۲۰۱۱) هم علت تغییر الگوی مکانی از شکل کپه‌ای به تصادفی را نتیجه حذف درختان در اثر آتش‌سوزی معرفی کردند. Luis و همکاران (۲۰۰۸) نیز در پژوهش خود علت تغییر الگو از شکل کپه‌ای به تصادفی را نتیجه عدم استقرار زادآوری به صورت گروهی معرفی کردند.

نتایج این تحقیق مشابه تحقیق Safari و همکاران (۲۰۱۰b) است. ایشان نیز الگوی مکانی بنه را به شکل کپه‌ای متمایل به تصادفی معرفی کردند. اما با نتایج تحقیق Karimi و همکاران (۲۰۱۲) که الگوی مکانی بنه را به شکل تصادفی معرفی کردند، مخالف است. علت این اختلاف می‌تواند به دلیل اختلاف در سطح مورد مطالعه باشد، زیرا الگوی مکانی تحت تأثیر مقیاس مورد مطالعه است (Marin et al., 2011) مطالعه ایشان در سطح دو هکتار و پژوهش پیش رو در سطح ۵۰ هکتار انجام شده است.

## سپاسگزاری

این پژوهش با استفاده از اعتبارات معاونت پژوهشی دانشگاه رازی انجام شده است که بدین‌وسیله از مسئولین ذیربظیر تشکر می‌گردد.

## References

- Akhavan, R., Sagheb-Talebi, K., Hassani, M. and Parhizkar, P. 2010. Spatial patterns in untouched beech (*Fagus orientalis* Lipsky) stands over forest development stages in Kelardasht region of Iran. Iranian Journal of

- Province. Iranian Journal of Forest and Poplar Research, 19(3): 356-369 (In Persian).
- Li, L., Huang, Zh., Ye, W., Cao, H., Wei, Sh., Wang, Zh., Lian, J., Sun, I., Ma, K. and He, F. 2009. Spatial distributions of tree species in a subtropical forest of China. *Oikos*, 118: 495-502.
  - Li, Y., Hui, G., Zhonghua Zhao, Li, Y.H., Y., Hui, G., Zhao, Zh. and Hu, Y. 2012. The bivariate distribution characteristics of spatial structure in natural Korean pine broad-leaved forest. *Journal of Vegetation Science*, 23(6): 1180-1190.
  - Luis, M.D., Raventos, J., Wiegand, T. and Hidalgo, C.H. 2008. Temporal and spatial differentiation in seedling emergence may promote species coexistence in Mediterranean fire-prone ecosystems. *Ecography*, 31: 620-629.
  - Mantgem, P.J., Stephenson, N.L., Knapp, E., Battles, J. and Keeley, J.E. 2011. Long-term effects of prescribed fire on mixed conifer forest structure in the Sierra Nevada, California. *Forest Ecology and Management*, 261: 989-994.
  - Marin, A., Carrer, D.M. and Lamdica, D.S. 2011. Spatial analysis of a mixed beech, spruce and fir stand in the eastern Alps. M.Sc. thesis, Department of Land, Environment, Agriculture and Forestry, College of Agricultural Sciences, University of Padua, 71p.
  - Pommerning, A. 2002. Approaches to quantifying forest structures. *Forestry*, 75(3): 305-324.
  - Pourreza, M., Shaw, J.D. and Zanganeh, H. 2008. Sustainability of wild pistachio (*Pistacia atlantica* Desf.) in Zagros Forests, Iran. *Forest Ecology and Management*, 255: 3667-3671.
  - Reyburn, A.P. 2011. Causes and consequences of plant spatial patterns in natural and experimental Great Basin (USA) plant communities. Ph.D thesis, Department of Wildland Resources, Utah State University, 162p.
  - Schmidt, L., Hille, M.G. and Stephens, S.L. 2006. Restoring northern Sierra Nevada mixed conifer forest composition and structure with prescribed fires of varying intensities. *Fire Ecology*, 2:20-33.
  - Stoyan, D. and Stoyan, H. 1992. *Fraktale Formenpunkt Feldermethoden der geometrie-statistik*. Berlin: Akademie-Verlag, 394p.
  - Gray, L. and He, F.L. 2009. Spatial point-pattern analysis for detecting density-dependent competition in a boreal chronosequence of Alberta. *Forest Ecology and Management*, 259: 98-106.
  - Haase, P. 1995. Spatial pattern analysis in ecology based on Ripley's K-function: Introduction and methods of edge correction. *Journal of Vegetation Science*, 6:575-582.
  - Habashi, H., Hosseini, S.M., Mohammadi, J. and Rahmani, R. 2007. Stand structure and spatial pattern of trees in mixed Hyrcanian beech forests of Iran. *Iranian Journal of Forest and Poplar Research*, 15(1): 55-64 (In Persian).
  - Haji Mirza Aghayee, S., Jalilvand, H., Kooch, Y. and Pormajidian, M.R. 2010. Analysis of important value and spatial pattern of woody species in ecological units (Case study: Sardabrood Forests of Chalous). *Iranian Journal of Forest*, 2(1): 51-60 (In Persian).
  - Heidari, R.H., Zobeiri, M., Namiranian, M. and Sobhani, H. 2007. Application of T-square sampling method in Zagros Forests. (Case study: Kermanshah Province). *Iranian Journal of Forest and Poplar Research*, 15(1): 32-42 (In Persian).
  - Hui, G., Li, L., Zhao, Zh. and Dang, P. 2007. Comparsion of methods in analysis of the tree spatial distribution pattern. *Acta Ecologica Sinica*, 27(11): 4717-4728.
  - Jannat Rostami, M., Zare Chahoki, M.A., Azarnivand, H. and Ebrahimi Dorcheh, Kh. 2009. Survey and analysis of spatial pattern of plant species in marginal rangelands Hoz-e-Soltan Qom. *Watershed Management Researches (Pajouhesh & Sazandegi)*, 84: 72-80 (In Persian).
  - Karimi, M., Pormajidian, M.R., Jalilvand, H. and Safari, A. 2012. Preliminary study for application of O-ring function in determination of small-scale spatial pattern and interaction species (Case study: Bayangan Forests, Kermanshah). *Iranian Journal of Forest and Poplar Research*, 20(4): 608-621 (In Persian).
  - Kiani, B., Tabari, M., Fallah, A., Hosseini, S.M. and Iran-nejad Parizi, M.H. 2011. The use of Nearest Neighbor, Mean Square and Ripley's K- function methods to determine spatial pattern of Saxaul (*Haloxylon ammodenderon* C.A.Mey) in Siahkooh Protected Area, Yazd

- it had similar fire problems. *Ecology and Society*, 13: 10-21.
- Wang, T.X., Ding, Y.L. and Liu, Y.J. 2005. The spatial pattern of *Arundinaria Fargesii* Clone population. *Journal of Nanjing Forestry University (Natural Science Edition)*, 29(3): 37-40.
  - Zhang, Y., Li, J.M., Chang, Sh.L., Li, X. and Lu, J.J. 2012. Spatial distribution pattern of *Picea schrenkiana* population in the Middle Tianshan Mountains and the relationship with topographic attributes. *Journal of Arid Land*, 4(4): 457-468.
  - Zhao, Zh., Hui, G., Hu, Y., Wang, H., Zhang, G. and Gadow, K. 2014. Testing the significance of different tree spatial distribution patterns based on the uniform angle index. *Canadian Journal of Forest Research*, 44(11): 1419-1425.
  - Trifković, S. and Yamamoto, H. 2008. Indexing of spatial pattern of trees using a mean of angels. *Journal of Forest Researches*, 3: 117-121.
  - Safari, A., Shabanian, N., Heidari, R.H., Erfanifard, S.Y. and Pourreza, M. 2010a. Spatial pattern of Manna Oak trees (*Quercus brantii* Lindl.) in Bayangan forests of Kermanshah. *Iranian Journal of Forest and Poplar Research*, 18(4): 596-608 (In Persian).
  - Safari, A., Shabanian, N., Erfanifard, S.Y., Heidari, R.H. and Purreza, M. 2010b. Investigation on spatial pattern of wild pistachio (*Pistacia atlantica* Desf.) (Case study: Bayangan forests, Kermanshah). *Iranian Journal of Forest*, 2(2): 177-185 (In Persian).
  - Stephens, S.L., Fry, D.L. and Franco-Vizcaíno, E. 2008. Wildfire and spatial patterns in forests in northwestern Mexico: the United States wishes

## An investigation of spatial pattern in *Pistacia atlantica* Desf. stands by angular method in Javanroud region of Kermanshah

A. Safari<sup>1\*</sup>, R.H. Heidari<sup>2</sup>, N. Shabanian<sup>3</sup> and M. Karimi<sup>4</sup>

1<sup>\*</sup>- Corresponding author, Ph.D. Student of Forestry, Department of Forestry, Tarbiat Modares University, Noor, I.R. Iran. E-mail: asafari61@yahoo.com

2- Assistant Prof., Campus of Agriculture and Natural Resources, Razi University, Kermanshah, I.R. Iran.

3- Assistant Prof., Department of Forestry, Faculty of Natural Resources, University of Kurdistan, Sanandaj, I.R. Iran.

4- Ph.D. Student Forestry, Department of Forestry, Sari Agricultural Sciences and Natural Resources University, Sari, I.R. Iran.

Received: 02.12.2013

Accepted: 03.09.2014

### Abstract

In addition to composition and structure, the spatial pattern also plays a key role in forest ecosystems. These three attributes act in constellation by regulating ecosystem functioning and resilience. Regarding the socio-economic importance of Pistachio species, information on the spatial pattern of these trees can be considered as a criterion for management in semi-arid areas of Iran. In this study, the spatial pattern of wild Pistachio (*Pistacia atlantica* Desf.) was studied. Therefore, a 50-ha areas in Javanroud region was sampled in regular 100×100 m grids with 50 sample plots in a systematic random sampling design. In each sample, angles required for calculating Winkelmaas ( $W_i$ ) and Mean of Angle ( $MoA$ ) indices were measured. The results showed clumpy pattern of the trees which also tended to random. In addition, the  $MoA$  index was shown to be insufficiently inaccurate for estimating the spatial pattern of *P. atlantica* across the study area.

**Keywords:** Spatial pattern, *Pistacia atlantica*,  $W_i$  index,  $MoA$  index, Javanroud.